

# **Estimados de energía cinética turbulenta (TKE) y factor de disipación obtenidos con un perfilador de vientos virtual y verificados a través de simulaciones de remolinos grandes (LES)**

D. Scipion<sup>1,2</sup>, E. Fedorovich<sup>3</sup>, R. Palmer<sup>1,3</sup>, P. Chilson<sup>1,3</sup>, and A. Botnick<sup>2</sup>

<sup>1</sup>Atmospheric Radar Research Center (ARRC), University of Oklahoma, USA

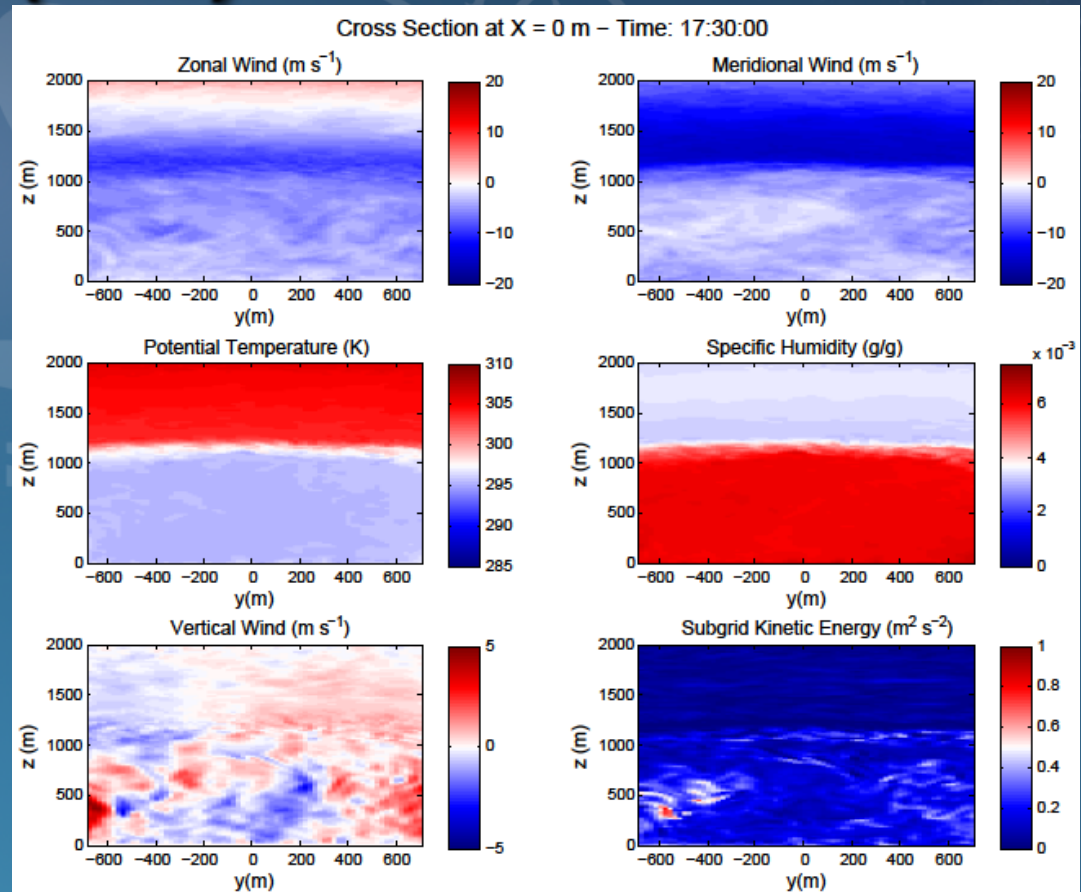
<sup>2</sup>School of Electrical & Computer Engineering, University of Oklahoma, USA

<sup>3</sup>School of Meteorology, University of Oklahoma, USA



# Simulaciones de Remolinos Grandes (LES)

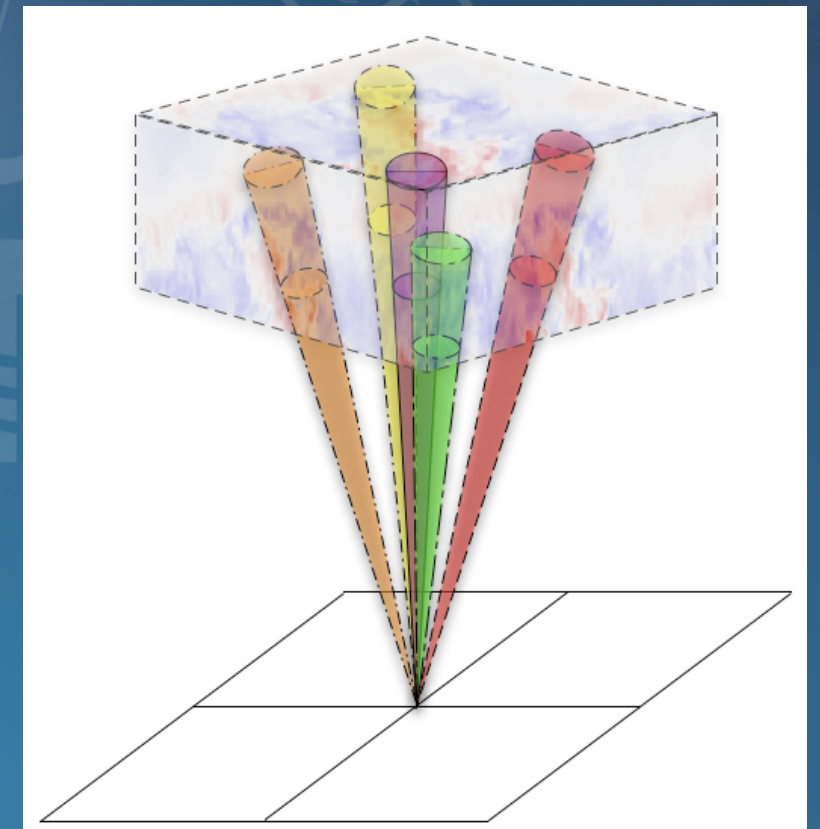
- Variables:
  - Viento Zonal
  - Viento Meridional
  - Humedad Específica
  - Viento Vertical
  - Energía cinética de la sub-grilla
- Sub-dominio LES:
  - $1400 \times 1400 \times 2000 \text{ m}^3$
  - Resolución espacial: 20 m
  - Resolución en tiempo: 1 s



Inicializados con una radiosonda lanzada a las 11:29 UTC del 8 Jun, 2007 en the Southern Great Plains Atmospheric Radiation Measurement Climate Research Facility (SGF-ACRF) en Lamont, OK, USA

# Doppler Beam Swinging (DBS): Configuración del Experimento

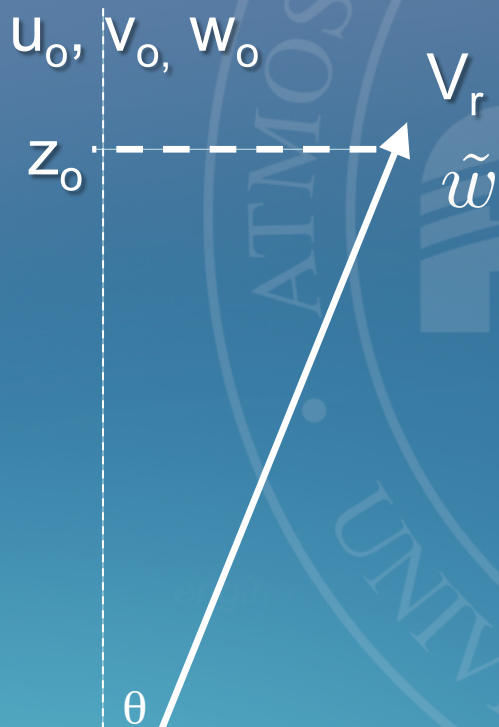
- Basado en Scipión et al. (2008)
- BLR virtual está localizado en el centro del sub-dominio del LES con 5 haces
- $\Delta r = 60 \text{ m}$
- BW =  $9^\circ$
- Inclinación de  $15.5^\circ$
- Ruido blanco aditivo Gaussiano para obtener un SNR máximo de 35 dB



# Qué es lo que el radar realmente estima? Efecto Cortante

Scipión et al. (2009):

$$\begin{aligned} V_r &= u_o \sin \theta \sin \phi + v_o \sin \theta \cos \phi + \tilde{w} \cos \theta \\ \tilde{w} &= w_o + s_u z_o \tan \theta \sin \phi + s_v z_o \tan \theta \cos \phi \\ s_u &= \frac{\tilde{w} - w_o}{z_o \tan \theta}, \phi = 90^\circ \\ s_v &= \frac{\tilde{w} - w_o}{z_o \tan \theta}, \phi = 0^\circ \end{aligned}$$



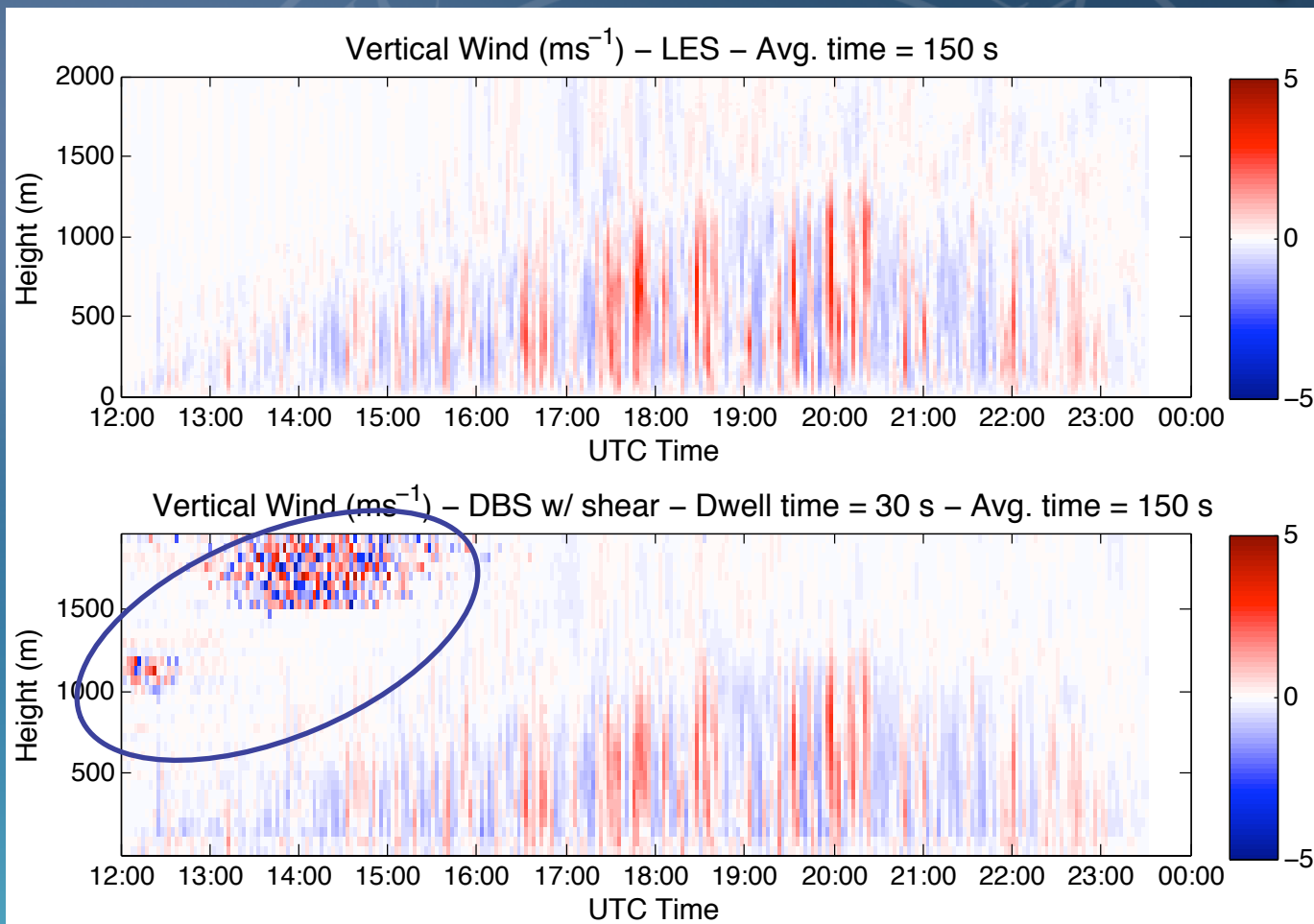
$$\begin{aligned} V_r &= (u_o + s_u z_o) \sin \theta \sin \phi \\ &\quad - (v_o + s_v z_o) \sin \theta \cos \phi \\ &\quad + w_o \cos \theta \end{aligned}$$

$$V_r = \tilde{u} \sin \theta \sin \phi + \tilde{v} \sin \theta \cos \phi + w_o \cos \theta$$

Velocidad aparente del viento = Velocidad media sesgada  
por la cortante horizontal de la velocidad vertical

# Estimados del Viento Vertical (w)

LES



DBS



Estimados pobres  
causados por  
 $\text{SNR} \leq -30\text{dB}$

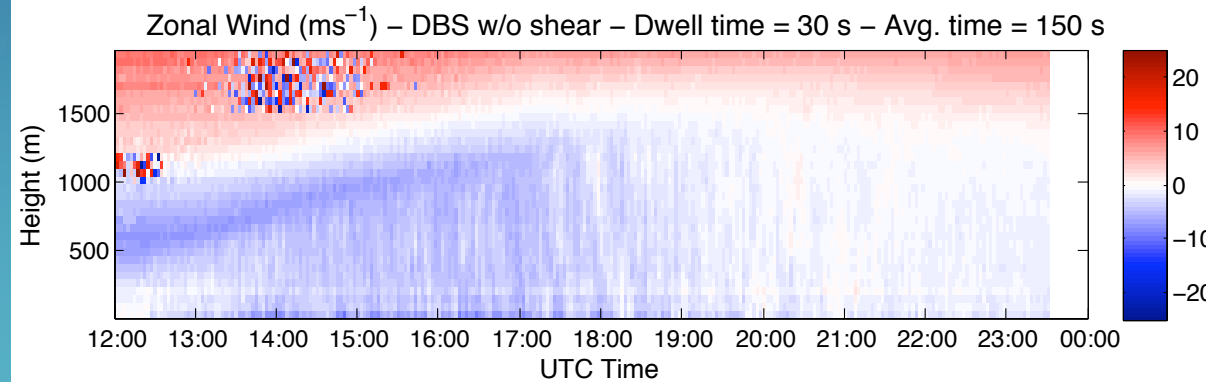
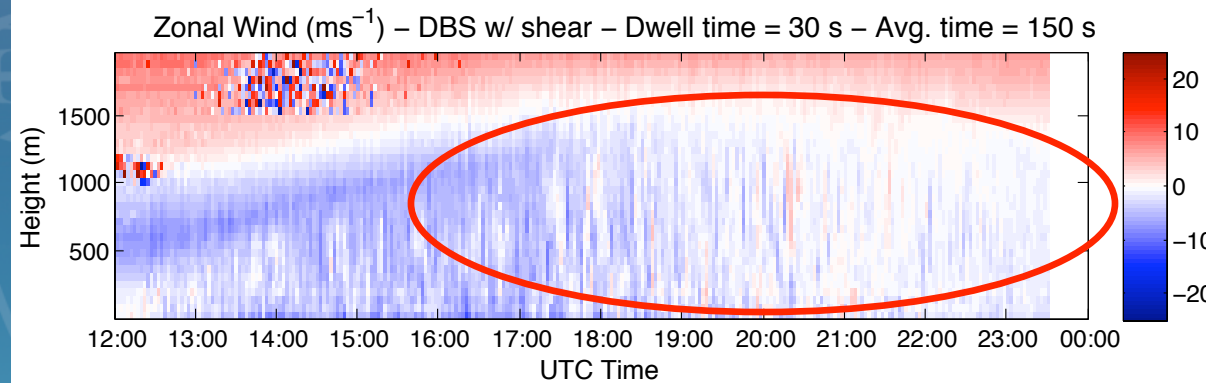
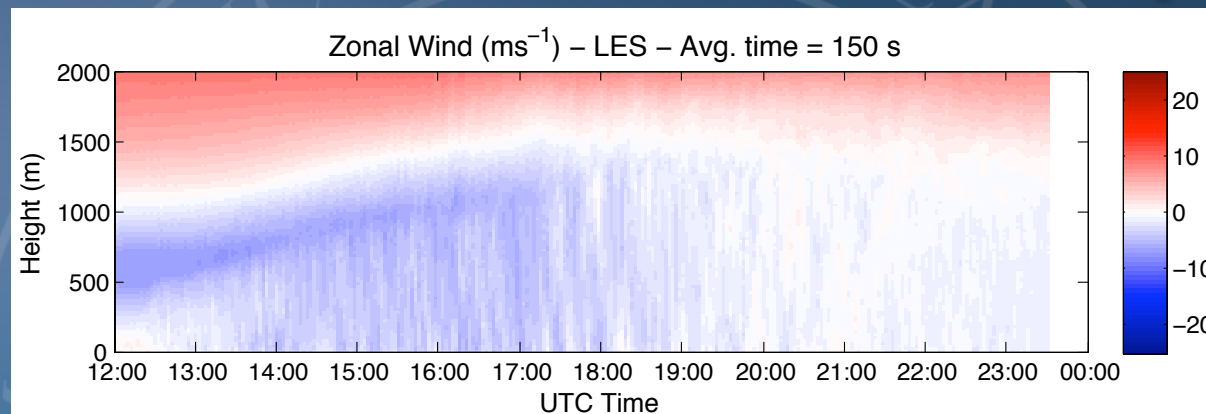
FUERTES gradientes en vientos  
verticales generan un SESGO en  
la VELOCIDAD HORIZONTAL





LES  
DBS con cortante  
DBS sin cortante

# Estimados del Viento Zonal ( $u$ )



Errores  
localizados  
en la capa de  
mezcla

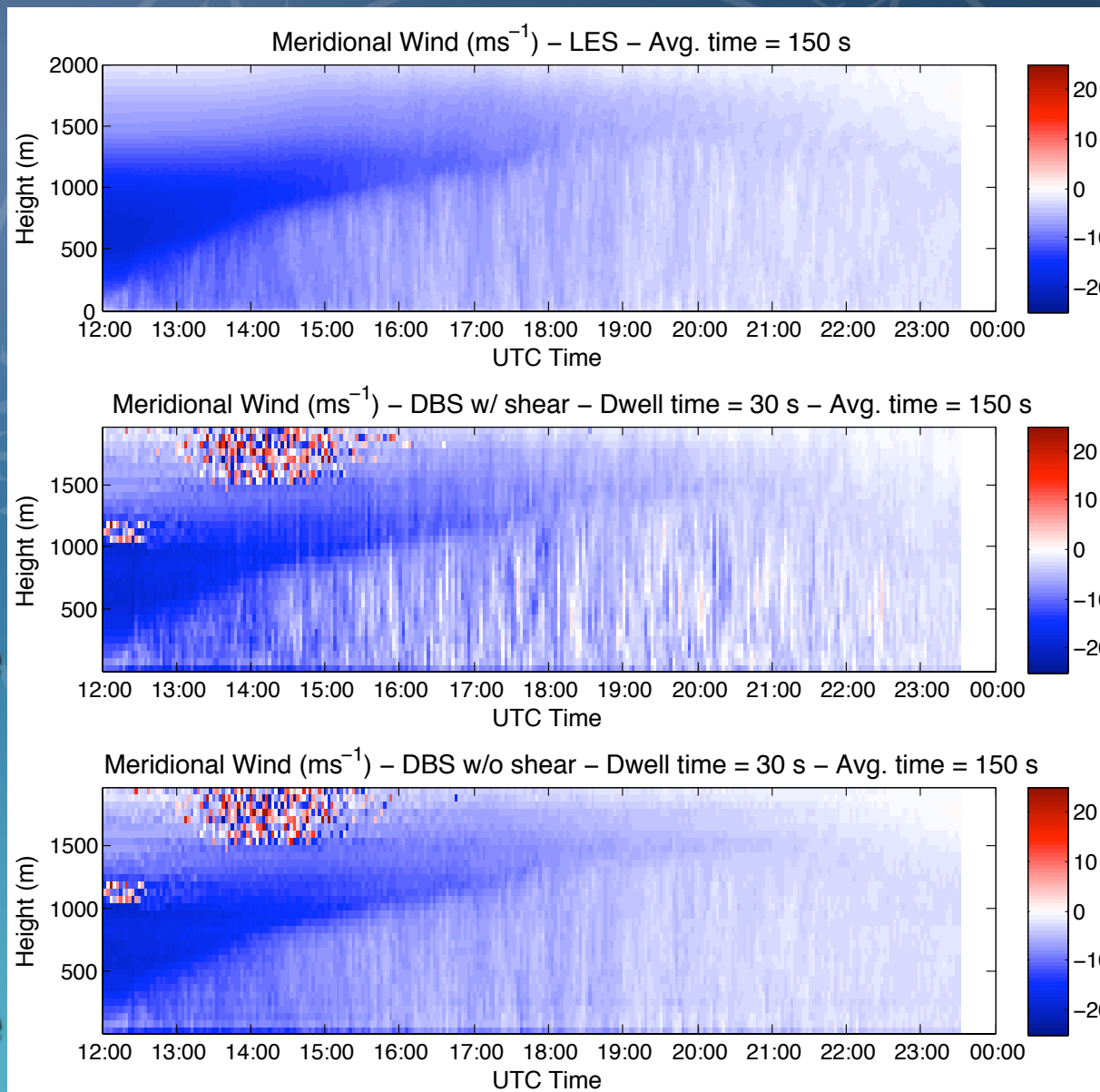


# Estimados del Viento Meridional ( $v$ )

LES

DBS  
con  
cortante

DBS  
sin  
cortante



# Energía Cinética de Turbulencia (TKE)

$$\sigma_u^2(LES) = \overline{u'u'} + \frac{2}{3}\bar{E}$$

$$\sigma_v^2(LES) = \overline{v'v'} + \frac{2}{3}\bar{E}$$

$$\sigma_w^2(LES) = \overline{w'w'} + \frac{2}{3}\bar{E}$$

$$TKE_{LES} = \frac{1}{2} (\sigma_u^2 + \sigma_v^2 + \sigma_w^2)$$

$$\sigma_u^2(Rad) = \overline{u'u'}$$

$$\sigma_v^2(Rad) = \overline{v'v'}$$

$$\sigma_w^2(Rad) = \overline{w'w'}$$

$$TKE_{Rad} = \frac{1}{2} (\sigma_u^2 + \sigma_v^2 + \sigma_w^2)$$

## LES plano:

$u'$  es la desviación de la media calculada sobre el plano, la barra superior representa un promedio sobre el plano y  $E$  es TKE de la subgrilla

## LES tiempo:

$u'$  es la desviación de la media temporal, la barra superior representa promedios temporales y  $E$  es el TKE de la subgrilla

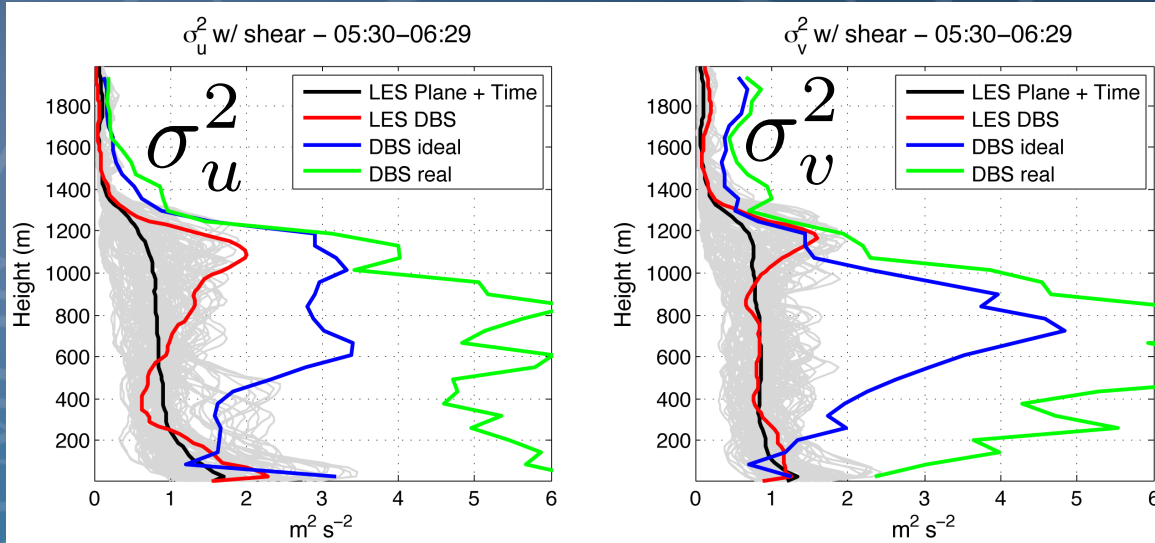
## DBS radar:

$u'$  es la desviación de la media temporal y la barra superior representa promedios temporales

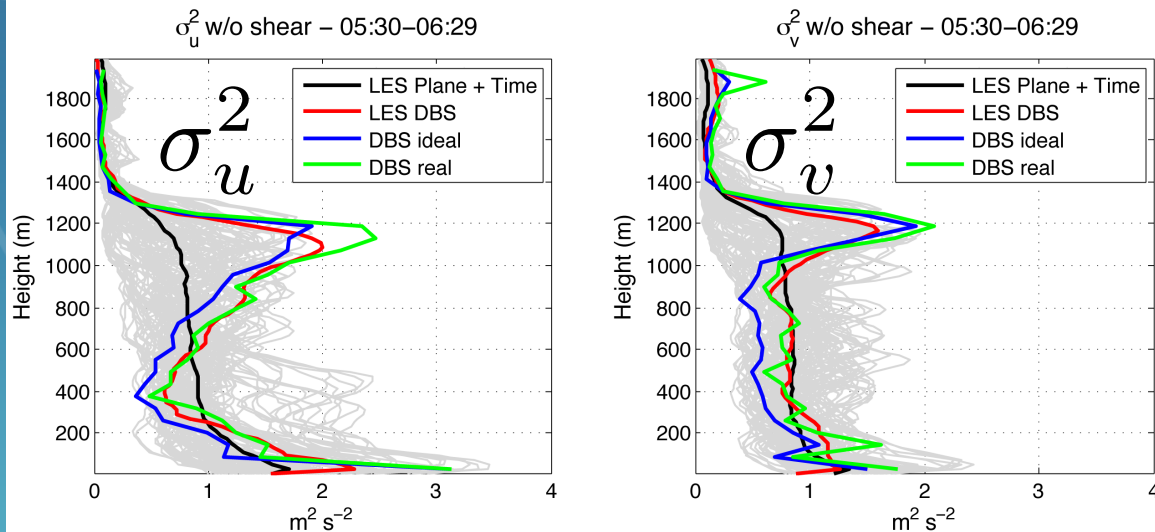


# Varianzas Horizontales

con  
cortante



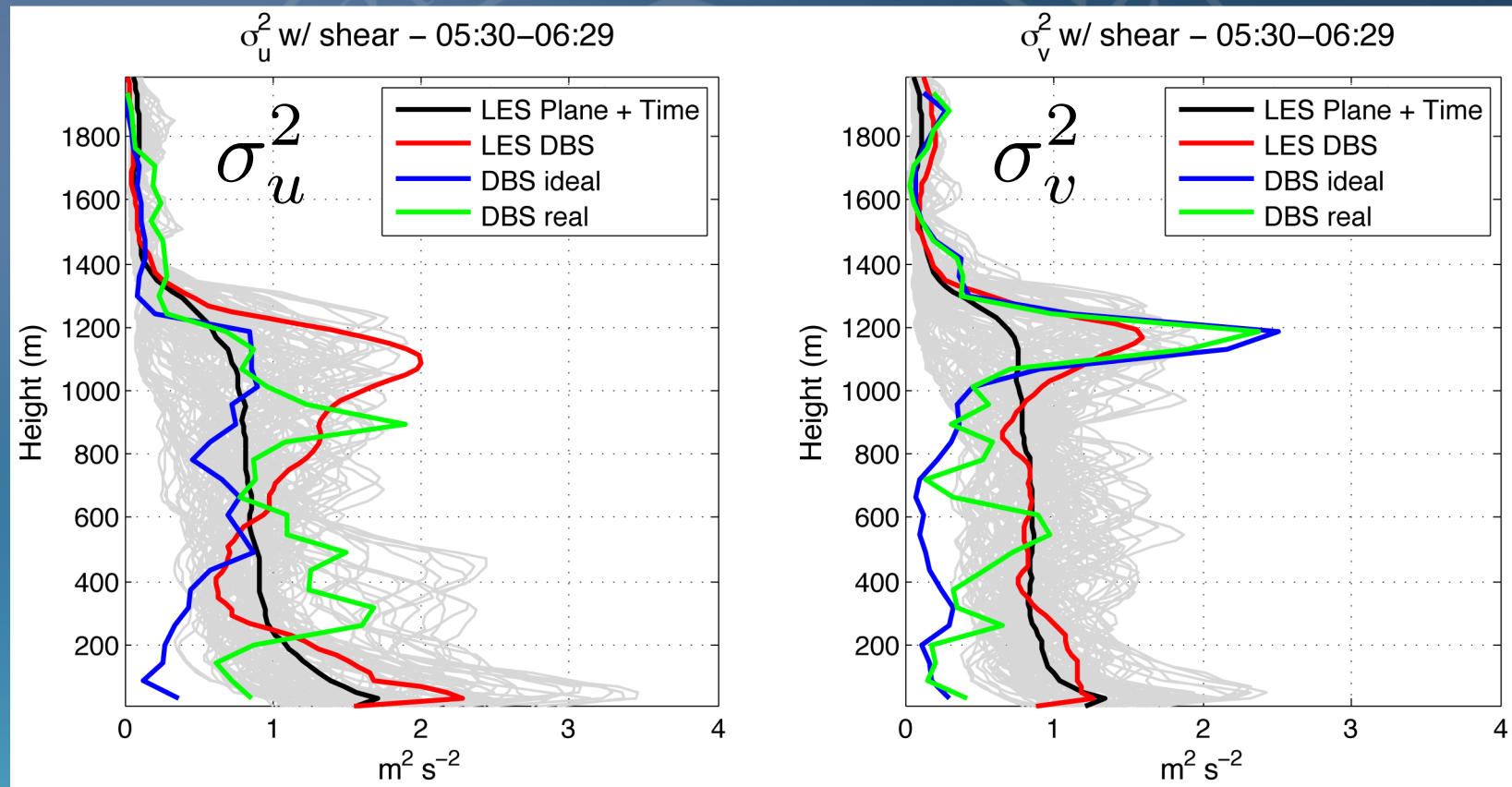
sin  
cortante



Estatísticas calculadas por un periodo de 60 minutos



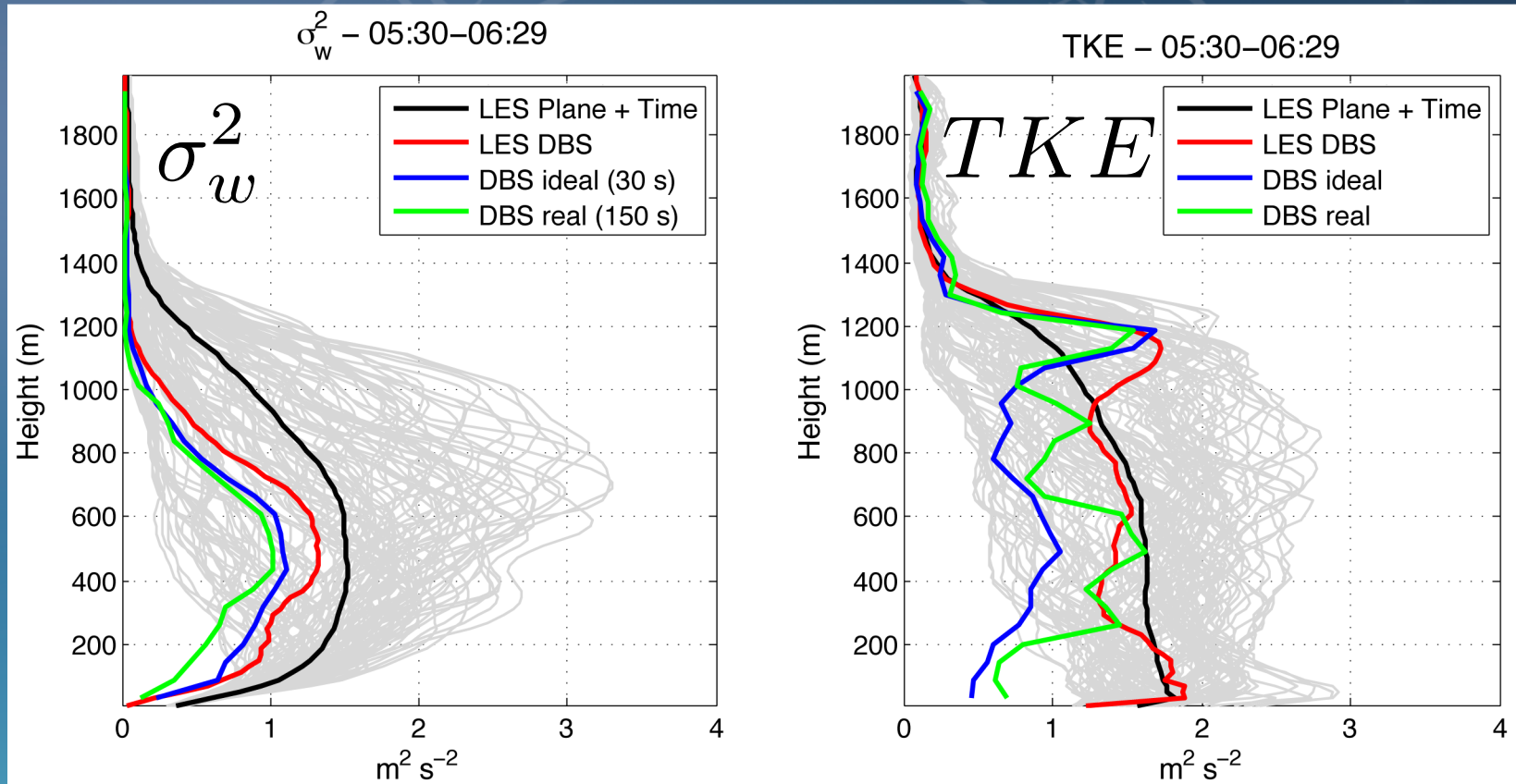
# Reducción de las Varianzas Horizontales



Estimados de DBS promediados por 20 min  
antes de calcular las estadísticas horarias



# Varianza Vertical y TKE



La varianza vertical debe  
calcularse con la mejor  
resolución temporal



# Factor de dissipación de turbulencia ( $\epsilon$ )

Doviak y Zrnic (1984):  $\sigma_v^2 = \sigma_{11}^2 + \sigma_s^2 + \sigma_x^2$

$\sigma_v^2$  ancho espectral Doppler medido

$\sigma_{11}^2$  ancho espectral por turbulencia

$\sigma_s^2$  ensanchamiento por cortante

$\sigma_x^2$  ensanchamiento por procesamiento de señales

White et al. 1999:

$$\epsilon_{Rad} = \sigma_{11}^3 (4\pi/A)^{3/2} J^{-3/2}$$

$$J = 12\Gamma(2/3) \iint_0^{\pi/2} (\sin^3 \varphi) (b^2 \cos^2 \varphi$$

$$+ a^2 \sin^2 \varphi$$

$$+ (L^2/12) \sin^2 \varphi \cos^2 \phi)^{1/3} d\varphi d\phi$$

$$L = V_T t_D$$

El factor de disipación es proporcional al cubo del ancho espectral por turbulencia

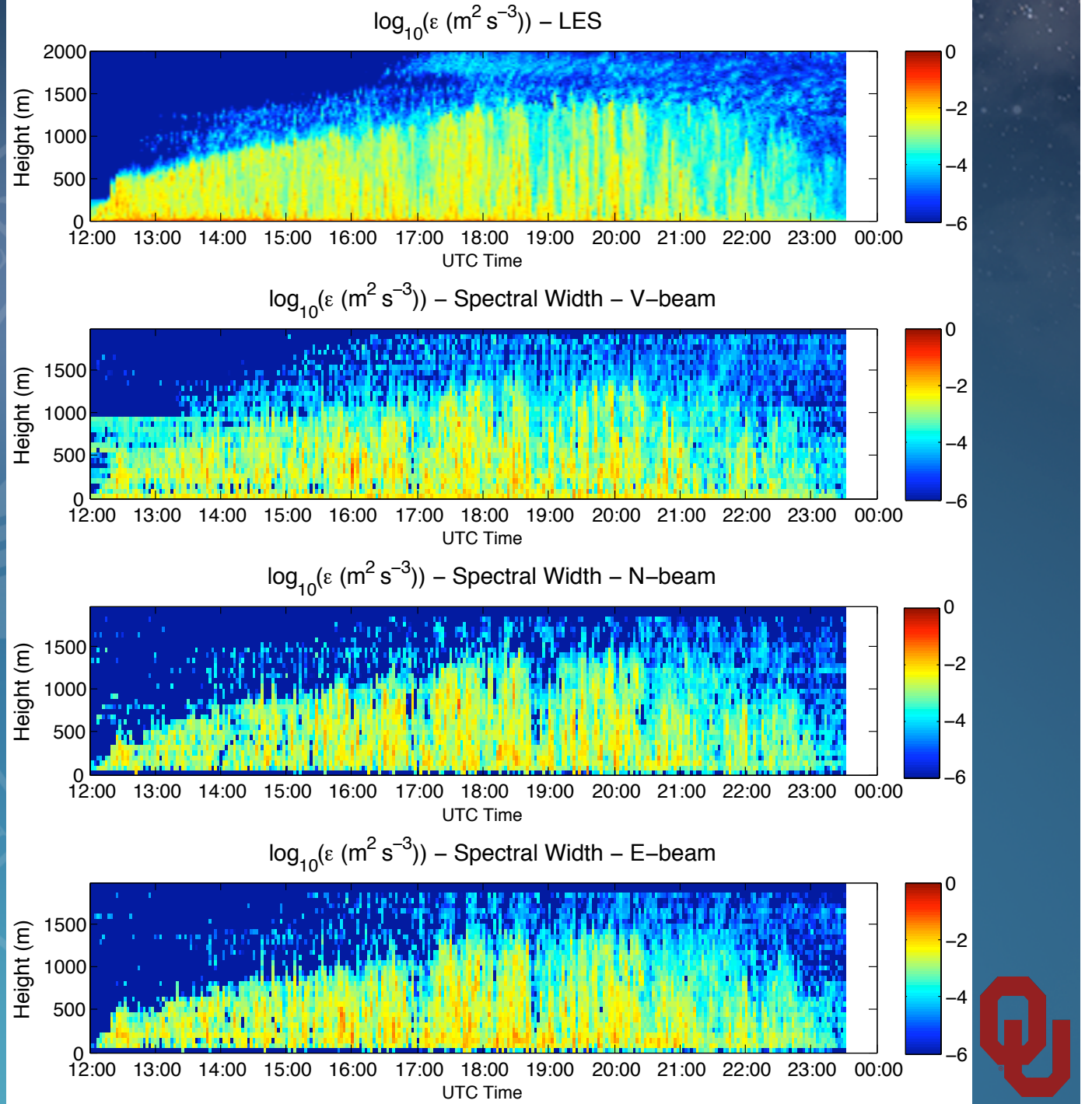


**LES**  
(Deardorff, 1980)

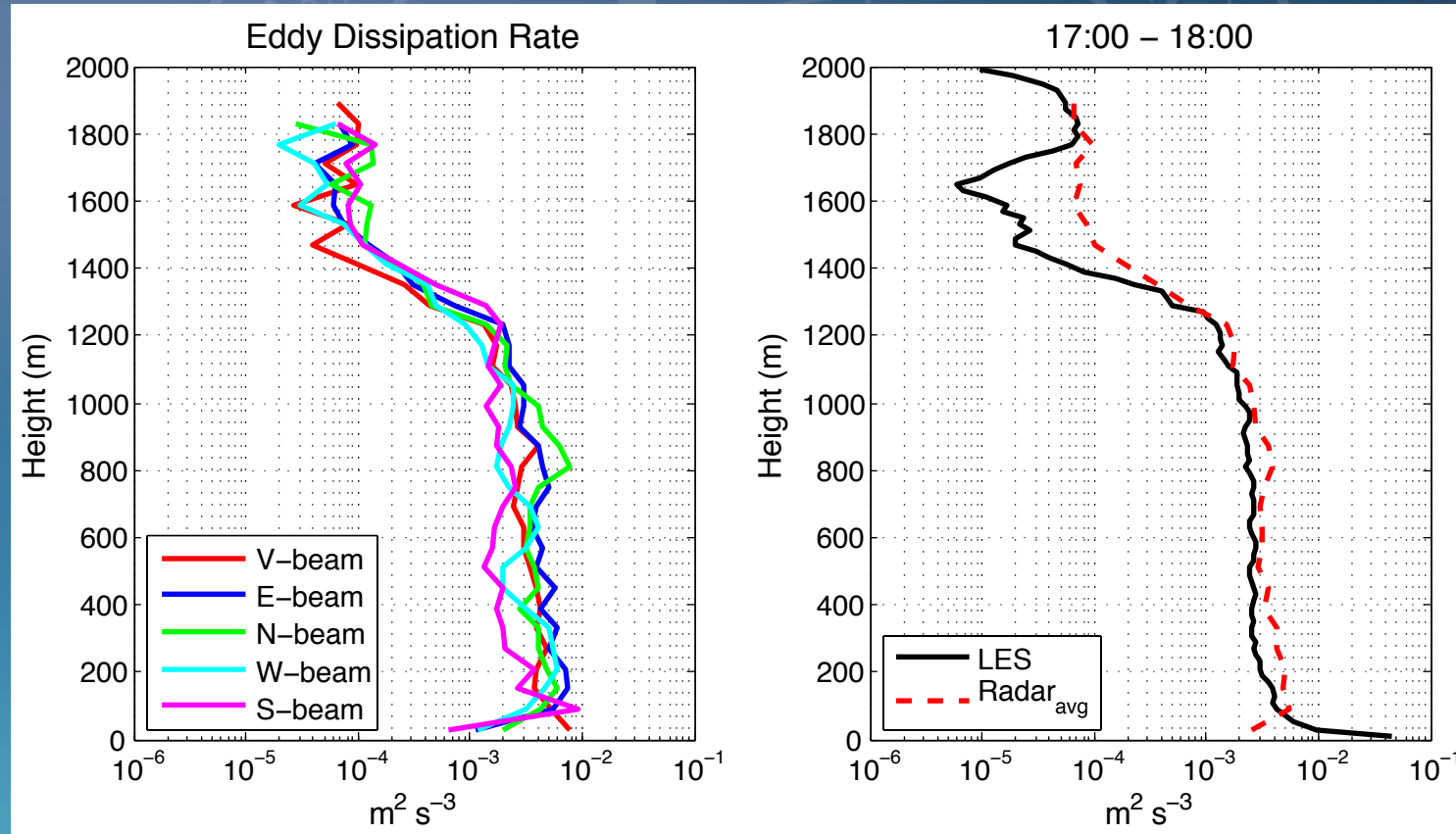
**Haz Vertical**

**Haz Obliquo  
Norte**

**Haz Obliquo  
Este**



# Perfil Promediado (17:00 – 18:00)



Todos los haces tienen  
similar factor de disipación

Discrepancias en bajas  
altitudes (escasez de puntos)  
y sobre CL (turbulencia débil)



# Conclusiones

- Las varianzas de la velocidades horizontales pueden ser sobreestimadas si es que la velocidad vertical en la capa limite es muy activa
- Una manera de reducir la varianza es promediando los vientos horizontales antes de calcular la varianza
- La varianza de la velocidad vertical debe ser calculada con la máxima resolución temporal de lo contrario pude ser subestimada
- Los estimados de TKE son obtenidos sumando las contrubuciones de las varianzas horizontal y vertical



# Conclusiones

- El factor de disipación es inafecto a cortante de viento de la velocidad vertical
- Estimado del factor de disipación pueden obtenerse aislando el efecto de ensanchamiento del ancho espectral Doppler debido a la turbulencia
- Los estimados para los haces obliquos y vertical son equivalentes.

